

降雨域およびその移動が流出に及ぼす影響

東京大学工学部 正会員 高橋 裕

東京大学工学部 正会員 虫明 功臣

建設省近畿地建 正会員 ○古木 守靖

I. まえがき

従来の流出解析では、降雨は、通常流域平均雨量として処理されて來たが、降雨の地域的分布、あるいは、その時間的な変動を無視することによって、果してどれ程の誤差を生じるのか？ 本研究はその問題を明らかにするための二ステップである。具体的には、まず神流川流域の降雨の検討から、移動する降雨域といふ概念の妥当性の検証とそのモデル化を行ない、それを非常に単純化した流域モデルに降らせるという、いわゆる数値実験を行なって、流域平均雨量を用いた計算値と比較検討するという方法をとる。

2. 降雨機構とそのモデル化

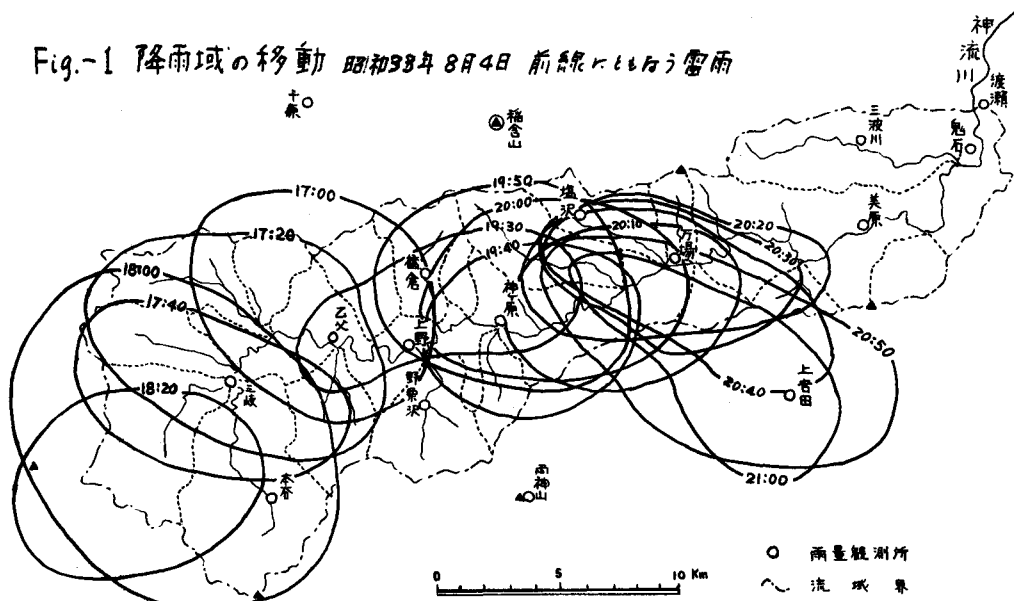
降雨域の移動と呼ばれる概念を、ここでは次の二つに分けて考える。

i) 雨雲の細胞の動きに対応しておらず降雨域の移動。

ii) 個々の雨雲の細胞には直接対応していないが、雨の強く降る地域の見かけ上、時間とともに変わるもの。

これらに着目して、比較的自記記録のデータが整備されている神流川流域の降雨について解析を試みた。昭和28年以來の出水の中から、降雨の自記観測地点数の多いもの、ならびに自記記録紙の比較から雨域の移動が予想されるものにノリて、10分、20分および1時間雨量を読み取り、等雨量線図を作成して降雨域の特性を推定した。Fig.-1は、単独の灯流雲より成ると推察される雨域の移動の代表例を挙げる。他にこれと同様のものとして、昭和32年7月27日の寒冷前線による雷雨、昭和35年8

Fig.-1 降雨域の移動 昭和33年8月4日 前線にともなう雷雨



月14日の台風12号通過後の前線にともなう雷雨などが顕著な例として挙げられる。これらの例によれば、移動速度は毎時5~10 Km程度、直徑は大体10 Km程度と推算される。降雨一流出における流域は流域濾波器の役割を果すので、個々の降雨域の変動によるいわば高周波成分が問題にならない場合がある。そのような場合でも、考える時間単位毎に流域上の降雨分布が変わることで、見かけ上流域が移動したと同じ効果を持つことが考えられる。この一例として、流域の降雨観測点の時間雨量の分布と、それぞれの地点での降雨の時間的重心を示したのがFig-2である。

次に、降雨域およびその移動が流出に及ぼす影響を検討するためには、1時間単位で見た見かけ上の降雨域の分布型と移動速度のモデル化を行なう。神流川流域を中心を持つとみなされる降雨について、等雨量線図上で中心からの距離にして10 Kmで降雨強度を求め、雨域の中心の降雨強度を1として表わすと、Fig-3のようになる。これららの分布型は、比較的よく似た傾向を示していると考えられる。平均的な分布型を求めると、Fig-4の(a)のようになる。ほぼ10 Kmで中心の降雨強度の $\frac{1}{2}$ になることに着目して、指數関数および正規密度関数を適用した

Fig-2 降雨の時間的重心

昭和28年9月25日

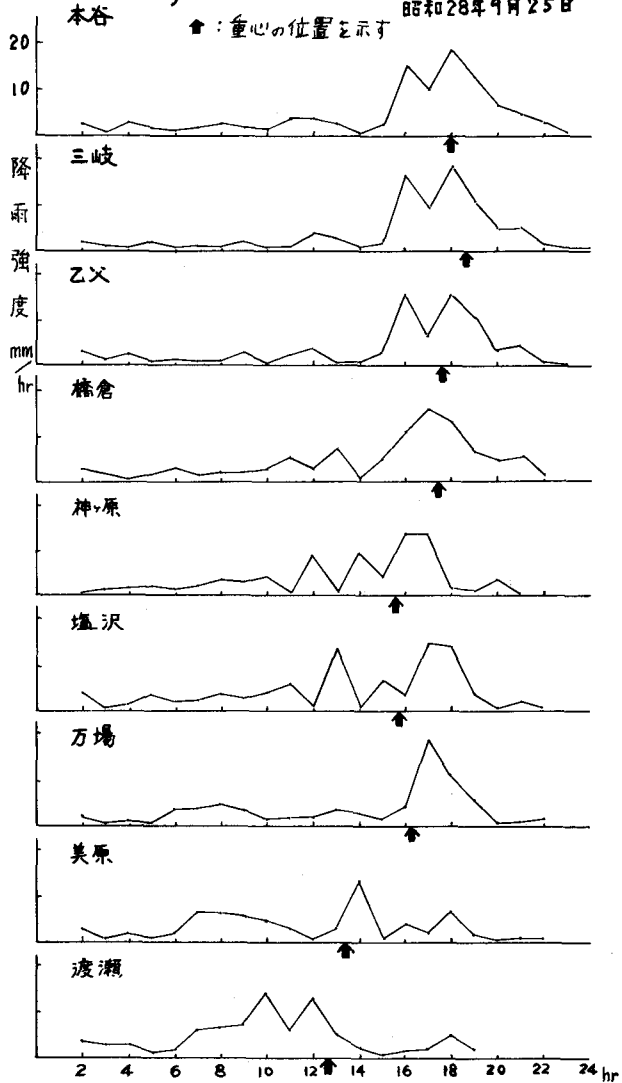
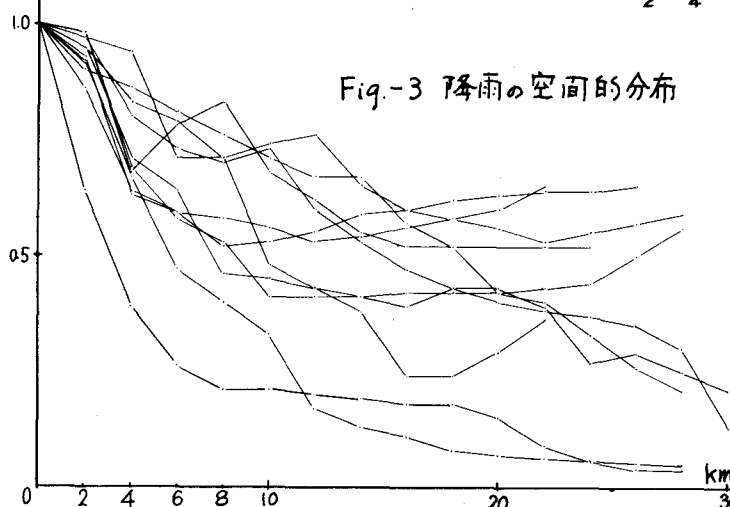


Fig-3 降雨の空間的分布



の形、Fig-4の(b),(c)である。これより降雨分布は指數関数で近似できるものと仮定して、

$$R(x) = R_0 e^{-kx} \quad (1)$$

ここに、 R_0 : 雨域中心部の降雨強度 (mm/hr), x : 中心部からの距離 (km), k : 10 kmで中心部降雨強度の $\frac{1}{2}$ となると0.03である。

移動の方向は、それらの降雨によって異なり、移動速度も毎時数キロ

メートルから數十キロメートルと降雨によってかなり大きな差を持っています。

3. モデル流域上における降雨域の移動の影響

ここでは、まず、単純化した流域モデル上で雨域の移動が流出に及ぼす影響について検討する。流域としては Fig-5 のような斜面と河道よりもモデルを採用し、解析法としては、降雨を横流入と見立てて、"横から流入のある開水路の不定流"として取り扱う。

3-1. 基礎方程式とその解法

斜面に対する基礎方程式は、

$$\left\{ \begin{array}{l} U = \sqrt{I}/N_c \cdot h^{2/3}, \text{ または } g = \sqrt{I}/N_c \cdot h^{5/3} \\ \partial h/\partial t + \partial Q/\partial x_c = r \end{array} \right. \quad (2)$$

$$(3)$$

ここで、 g : 単位幅当たり流量、 U : 平均流速、 I : 斜面の勾配、 N_c : 斜面に対する Manning の粗度係数、 h : 水深、 x_c : 斜面上流端からの距離、 r : 降雨強度、である。

(2), (3) 式から

$$\text{特性曲線 } dx_c/dt = 5/3 \sqrt{I}/N_c \cdot h^{2/3} \quad (4)$$

の上で、

$$dh/dt = r, \text{ または } h_t - h_{t_0} = \int_{t_0}^t r dt \quad (5)$$

(4)式の波動の伝播を、(5)式の伝播速度に乗じた波の上の水深の変化を与える。

河道についても同様に、運動方程式と連続式は、

$$\left\{ \begin{array}{l} \bar{Z} = N_s V^2 / R^{4/3} \\ \partial A/\partial t + \partial Q/\partial x_s = g \end{array} \right. \quad (6)$$

$$(7)$$

ここで、 \bar{Z} : 河床勾配、 N_s : Manning の粗度係数、 V : 平均流速、 R : 径深、 A : 流水断面積、 Q : 流量、 g : 単位長さ当たりの横流入量、 x_s : 河道上流端から下流への距離、である。

いま、断面の形状を決定する定数を、 P を次のように定義する。

$$AR^{2/3} = k A^P, \quad K = \sqrt{\bar{Z}} k / N_s \quad (8)$$

(6)式より

$$Q = K A^P \quad (9)$$

(7), (9)式より

$$\text{特性曲線 } dx_s/dt = P K A^{P-1} \quad (10)$$

の上で

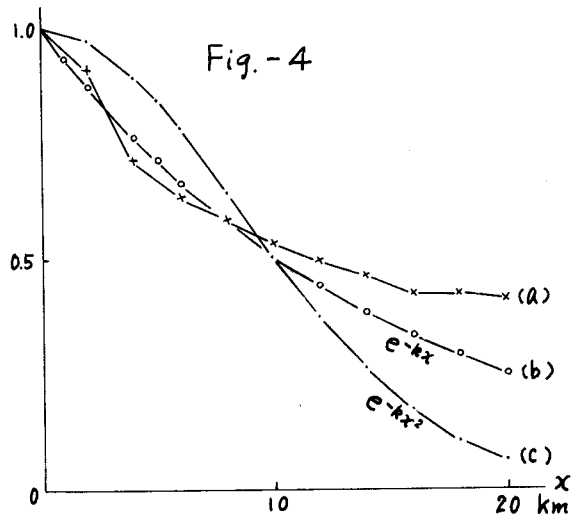


Fig. - 4

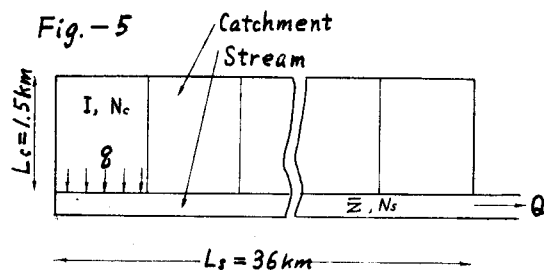


Fig. - 5

Fig. - 6

E : 降雨域の移動速度 (流下方向正)

$$E = 5 \text{ km/hr}$$

$$E = 10 \text{ km/hr}$$

$$E = -10 \text{ km/hr}$$

$$E = 20 \text{ km/hr}$$

$$E = -20 \text{ km/hr}$$

$$E = 40 \text{ km/hr}$$

$$E = -40 \text{ km/hr}$$

$$dA/dt = g, \text{ また } At - A_{t_0} = \int_{t_0}^t g dt \quad (11)$$

断面は $y = ax^2$ で表される広放物線形断面として、 $a = (Q/16)^{2/9}$, $P = 13/9$ とした。計算に際しては FACOM 270-30 を使用した。

3-2. 数値実験の結果とその考察

先に述べた指數関数形の降雨分布を矩形流域モデルに与え、種々条件を変えて流出量を計算した。流域の要素のうちモデルに組み込まれたものは、1) 流路長、斜面長、2) 流路勾配、斜面勾配、3) 流路および斜面の粗度係数、4) 流路の断面形状、であり、降雨については降雨強度の分布形と移動速度である。二つめは、降雨域とその移動を考慮した場合としない場合の比較、さらに、斜面の粗度係数および移動速度を変えて得られた結果を示す。

まず、斜面の河道と直角方向に対する分割数(ND)を変えた時のピーク流量の差を Fig-6 に示す。図では、ピーク流量の差が挙げていいなりか、ハイドログラフの形も分割数 1 を除いて大差はない。分割数 1 というのは流域内の降雨分布を無視した、すなわち流域平均雨量を用いて計算したのと等価である。これと、降雨域の移動の効果が表われている分割数 12 のハイドログラフを比較した一例を Fig-7 に挙げる。

次に、移動速度および斜面の粗度を変え、移動を考慮しない場合(ND=12)としない場合(ND=1)のピーク流量の差を示したもの、Fig-8 である。ただし、横軸は流路下端での流速 V_1 で移動速度 E も除した無次元表示であり、縦軸はピーク流量の差($Q_1 - Q_{12}$)の Q_{12} に対する比で表わしている。移動速度が正の場合には、 $E/V_1 = 1$ 附近でピーク流量の差が大きくなるが、逆に下流から上流へ動くときに斜面の粗度係数は N_c の違いによつて傾向が異なる。斜面の N 値を 0.4、流路の N 値を 0.04 としたこの計算例では、降雨域とその移動を無視した場合のピーク流量の誤差は最大 2 割以上となる。 N_c の違いに着目すると、それが小さいほど〔すなわち、(斜面における伝播時間)/(河道における伝播所要時間)〕が大きいほど〕、ピーク流量の差が大きくなるという傾向を示す。

本研究に当たっては、特に気象局に因連して気象研究所の奥田穠氏に有益な助言をいただいた。記して感謝の意を表する。

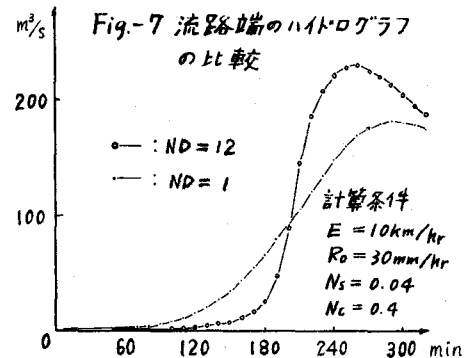


Fig.-7 流路端のハイドログラフの比較

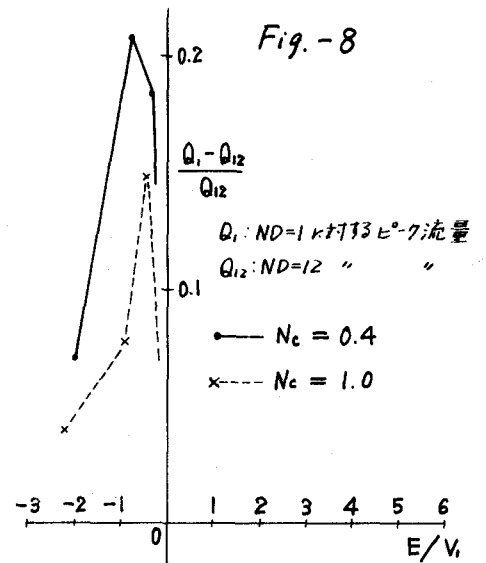


Fig.-8

